

(III-85) 土槽の側面摩擦が鉛直土圧に及ぼす影響について

宇都宮大学工学部 学生会員 ○西田 剛仁
 同上 正会員 上野 勝利
 同上 正会員 横山 幸満

1. まえがき

模型土槽を用いて実験を行う場合には、壁面の摩擦力が土槽内部の応力状態に少なからず影響を及ぼす。その為、現在までに様々な方法で摩擦力低減が図られてきた。ここでは、ラバーメンブレンとシリコングリースによって潤滑層を形成する方法で一面せん断試験を行い、その結果より、鉛直土圧に及ぼす壁面摩擦の影響についての計算を行った。

2. 一面せん断試験

図1の様に土槽周面に潤滑層を形成することを想定し、図2の様に装置を設置した。潤滑層がある場合にはせん断面はグリースの層であり、潤滑層がない場合には、せん断面は[金属-砂]である。

今回の試験では摩擦力に影響を及ぼす因子として以下の3つを考え、括弧内の様に段階を設定した。

1. 下部せん断箱の材質（鋼・アルミの2種類）
2. 下部せん断箱表面の仕上げ（粗・滑）
3. 鉛直応力 ($\sigma_v = 0.5, 1.0, 2.0, 3.0 \text{ kgf/cm}^2$)

2. の粗・滑とは表面をフライス盤で加工したままのもの(粗)とその後研磨したもの(滑)で変化を付けた。

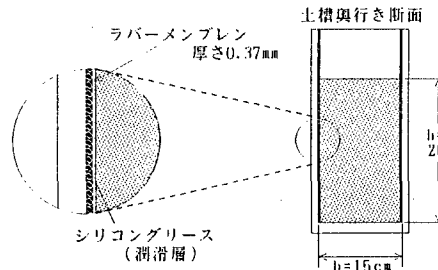


図1 土槽周面への潤滑層の設置

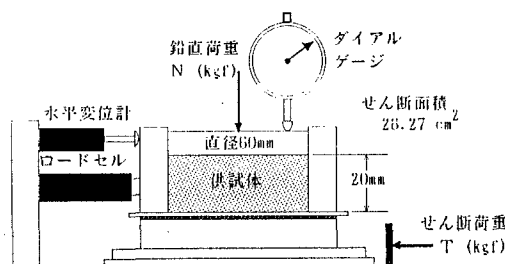


図2 一面せん断試験装置

3. 結果

実測した値から、供試体を入れないで空せん断したときのせん断荷重を差し引いて¹⁾、せん断変位量(mm)を横軸に、せん断荷重(kgf)を縦軸にして図3(a,b)のように整理し、1mmまでの範囲でピークを読みとった。ピークは矢印の点、1mmまでの範囲としたのは、変位がそれ以上になると装置が回転したり、ラバーメンブレンを巻き込んだりするためである。

各鉛直荷重でのピークについてまとめたのが図4(a,b)である。ここでは摩擦が最大及び最小であるアルミ(粗)と鋼(滑)の結果を示す。

このようにして、鉛直応力 $\sigma_v (\text{kgf/cm}^2)$ とせん断応力 $\tau (\text{kgf/cm}^2)$ についての関係を求めた。以下が結果の一覧である。

潤滑層ありの場合

$$\text{アルミ(滑面)} \quad \tau = 0.005 \sigma_v + 0.005 (\text{kgf/cm}^2)$$

$$\text{アルミ(粗面)} \quad \tau = 0.010 \sigma_v + 0.009 (\text{kgf/cm}^2)$$

$$\text{鋼(滑面)} \quad \tau = 0.008 \sigma_v + 0.001 (\text{kgf/cm}^2)$$

$$\text{鋼(粗面)} \quad \tau = 0.004 \sigma_v + 0.018 (\text{kgf/cm}^2)$$

潤滑層なしの場合

$$\text{アルミ(滑面)} \quad \tau = 0.62 \sigma_v (\text{kgf/cm}^2)$$

$$\text{アルミ(粗面)} \quad \tau = 0.71 \sigma_v (\text{kgf/cm}^2)$$

$$\text{鋼(滑面)} \quad \tau = 0.31 \sigma_v (\text{kgf/cm}^2)$$

$$\text{鋼(粗面)} \quad \tau = 0.49 \sigma_v (\text{kgf/cm}^2)$$

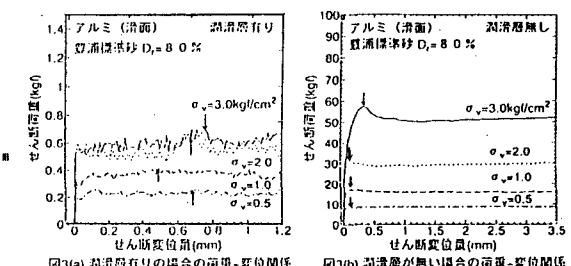


図3(a) 潤滑層有りの場合の荷重-変位関係

図3(b) 潤滑層無しの場合の荷重-変位関係

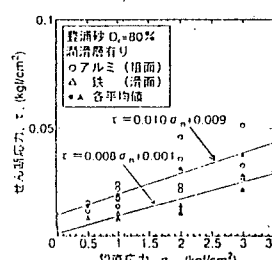


図4(a) 鉛直応力とせん断応力の関係

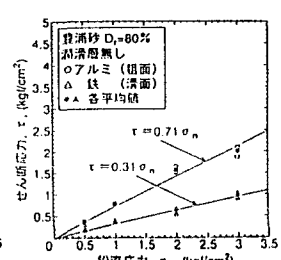


図4(b) 鉛直応力とせん断応力の関係

4. 鉛直土圧への利用

Terzaghi²⁾にならい、図5の様な土槽内の斜線の部分に働く力の釣り合いを考えると、力の釣り合い式は、

$$b \cdot \gamma_d \cdot dz - b \cdot d \sigma_z - df = 0 \quad (1)$$

ここでdfは壁面の摩擦抵抗を示しており、一面せん断試験より得られる式を

$$\tau = \tan \phi_w \sigma_x + c_w \quad (2)$$

とすればdfは、

$$df = (K_0 \cdot \sigma_z \cdot \tan \phi_w + c_w) \cdot dz \quad (3)$$

これをZ=0で $\sigma_z=0$ の境界条件で解くと、

$$\sigma_z = \frac{b \cdot \gamma_d - C_w}{K_0 \tan \phi_w} \left[1 - \exp \left\{ \frac{-K_0 \tan \phi_w}{b} Z \right\} \right] \quad (4)$$

上載圧 σ_0 を与えた場合、境界条件はZ=0で $\sigma_z=\sigma_0$ となるので、

$$\begin{aligned} \sigma_z &= \frac{b \cdot \gamma_d - C_w}{K_0 \tan \phi_w} \left[1 - \exp \left\{ \frac{-K_0 \tan \phi_w}{b} Z \right\} \right] \\ &\quad + \sigma_0 \cdot \exp \left\{ \frac{-K_0 \tan \phi_w}{b} Z \right\} \end{aligned} \quad (5)$$

となる。但し、 $\gamma_d = a \rho_d z$ で、 γ_d は土の単位体積重量、aは加速度、 ρ_d は土の乾燥密度を表す。

式(4), (5)を用いて $K_0=1.0$, $b=15\text{cm}$, $h=26\text{cm}$ 、最も摩擦力の小さい鋼(滑面)の条件で、実際に計算を行った結果を図6(a, b)及び図7(a, b)に示す。

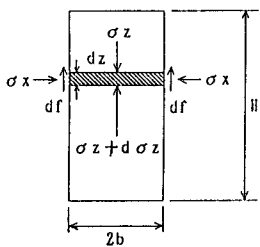


図5

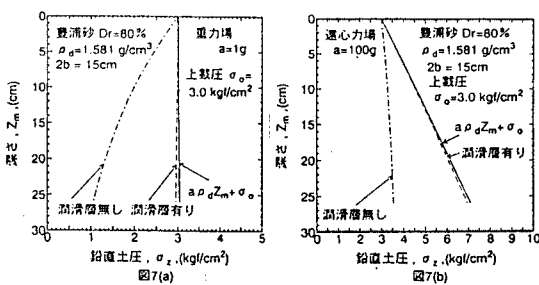
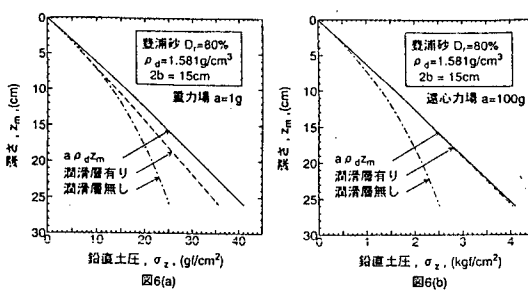


図6(a, b)は、それぞれ重力場および遠心場($a=100\text{g}$)での土槽中心部の鉛直土圧分布である。重力場では土槽底面($Z_m=26\text{cm}$)での $a \rho_d z$ に対する鉛直土圧の減少分は、潤滑層ありの場合は約15%の減少にとどまり、遠心場では c_w は遠心力と無関係なため、 $a \rho_d z$ とほとんど差は無くなる。しかし、潤滑層なしの場合ではどちらも約40%程度の鉛直土圧の減少がみられる。Feldら(1991)³⁾によれば、直径18cm、深さ30cmの円筒土槽を用いた遠心力場模型実験($a=15\text{g}, 45\text{g}$)で、20%から80%の鉛直土圧の減少が報告されている。

図7(a, b)はそれぞれ重力場、遠心場($a=100\text{g}$)で上載圧 3.0kgf/cm^2 をかけた場合であり、重力場で潤滑層なしの場合で土槽底面($Z_m=26\text{cm}$)の鉛直土圧は、 $a \rho_d z + \sigma_0$ の約1/3程度にまでなり、遠心場では約半分程度にまで減少している。

5. 結論

以上より、次のようなことが分かった。
 (1)いずれのケースでも潤滑層なしの場合では40%以上の鉛直土圧の減少が生じる恐れがある。
 (2)重力場の上載圧なしの場合、潤滑層を設けても深さ26cmの位置で15%程度の鉛直土圧の減少が生じる恐れがある。
 (3)上載圧のある場合及び遠心場では、潤滑層の効果は大きいと期待される。

【参考文献】

- 榎・八木・井上:「直接せん断試験の問題点」、直接型せん断試験の方法と適用に関するシンポジウム発表論文集, pp. 141-146, 1995
- Terzaghi, K.: Theoretical soil mechanics, John Wiley and Sons Inc., New York, pp. 118-143
- Feld, T., Bloomquist, D. and Townsend, F. C.: Investigation of geostatic stresses in a limited sized centrifuge model, Centrifuge 91, pp. 569-573, 1991